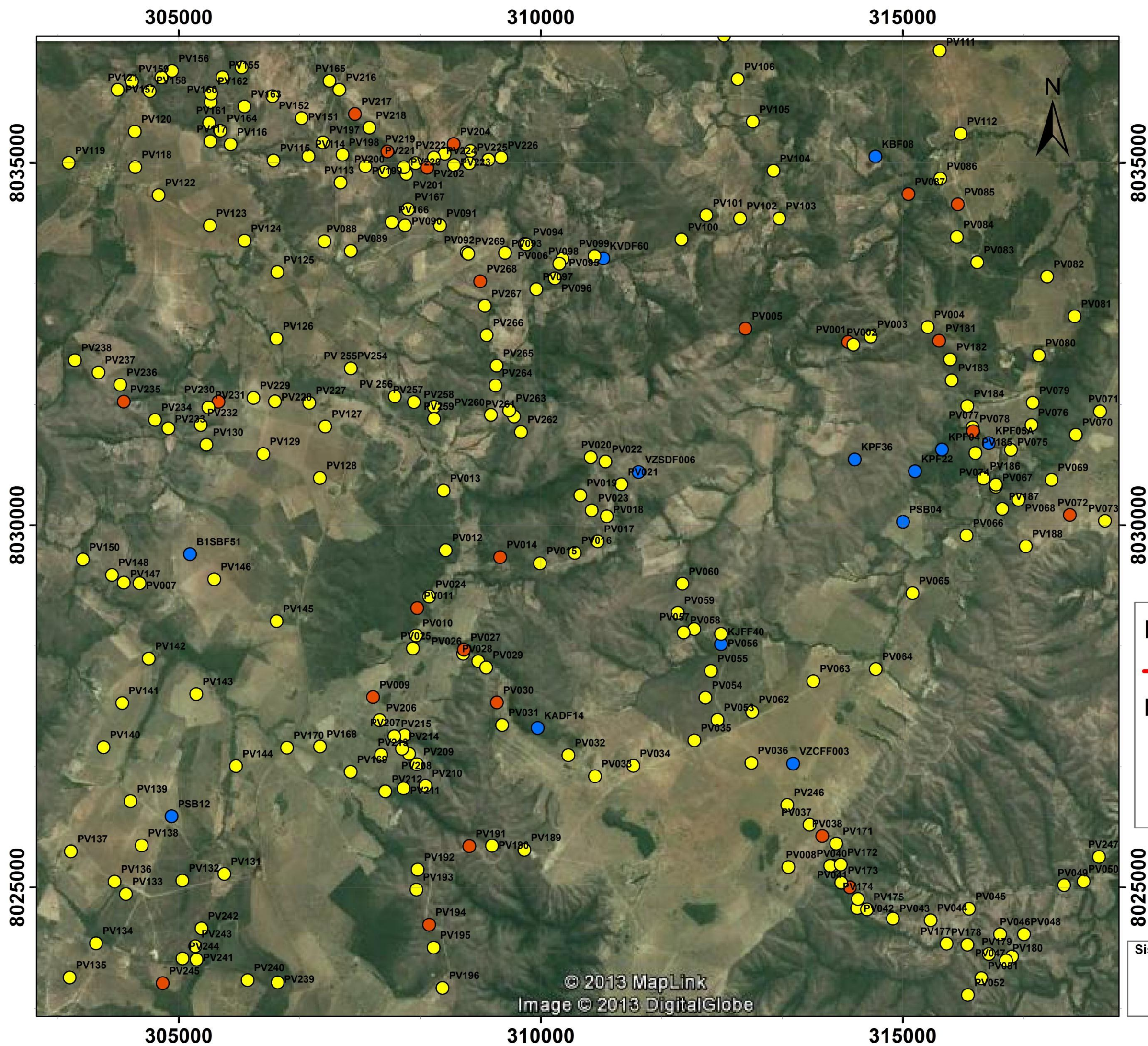


APÊNDICE A – Mapa de pontos de caminhamento.



 **Mapa de Pontos**

Autor: Vinícius de Oliveira Monteiro Guimarães

Programa de Pós Graduação em Análise de Bacias e Faixas Móveis

Dissertação de Mestrado

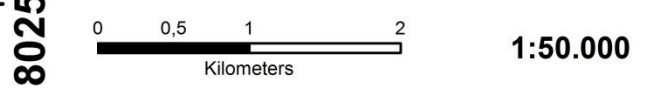
Mapeamento geológico-estrutural e análise de dados aerogeofísicos aplicados à evolução estrutural dos Grupos Canastra e Vazante na região tipo

Legenda

 Área de Estudo

Pontos

-  Pontos de Caminhamento
-  Pontos com Lâmina Delgada
-  Furos de Sondagem



Sistema de Projeção: Universal Transversa de Mercator
Base Cartográfica: Folha Arrenegado
Meridiano Central: -45
Datum: SAD 69
Zona UTM: 23S

© 2013 MapLink
 Image © 2013 DigitalGlobe

APÊNDICE B – Mapa Geológico.



Mapa Geológico

Autor: Vinícius de Oliveira Monteiro Guimarães

Programa de Pós Graduação em Análise de Bacias e Faixas Móveis

Dissertação de Mestrado

Mapeamento geológico-estrutural e análise de dados aerogeofísicos aplicados à evolução estrutural dos Grupos Canastra e Vazante na região tipo

Convenções Cartográficas

- Seções
 - Curvas de Nível
 - Drenagens
- Contato**
- Inferido
 - Observado

Convenções Estruturais

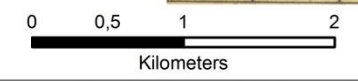
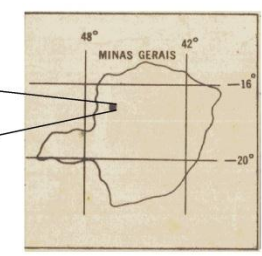
- Lineação de Interseção-Li (Sin D2)
- Foliação paralela ao acamamento sedimentar-S1/S0
- Clivagem Ardosiana- S2
- Falha de Empurrão (Sin D2)
- Dobra Sinformal (Sin D2)
- Dobra Antiformal (Sin D2)
- Lineação de Crenulação-Lc (Sin D3)
- Falha Normal (Sin D4)

Unidades de Mapeamento

- Meso/Neoproterozóico**
- GV Formação Serra da Lapa: Ardosia carbonosa preta silicificada
 - GV Formação Morro do Calcário: Dolomito estromatolítico
 - Pontos com Estromatolito
 - GV Formação Serra do Garrote: Ardosia vermelha homogênea
 - GC Formação Paracatu: Filito carbonoso com intercalações de quartzito

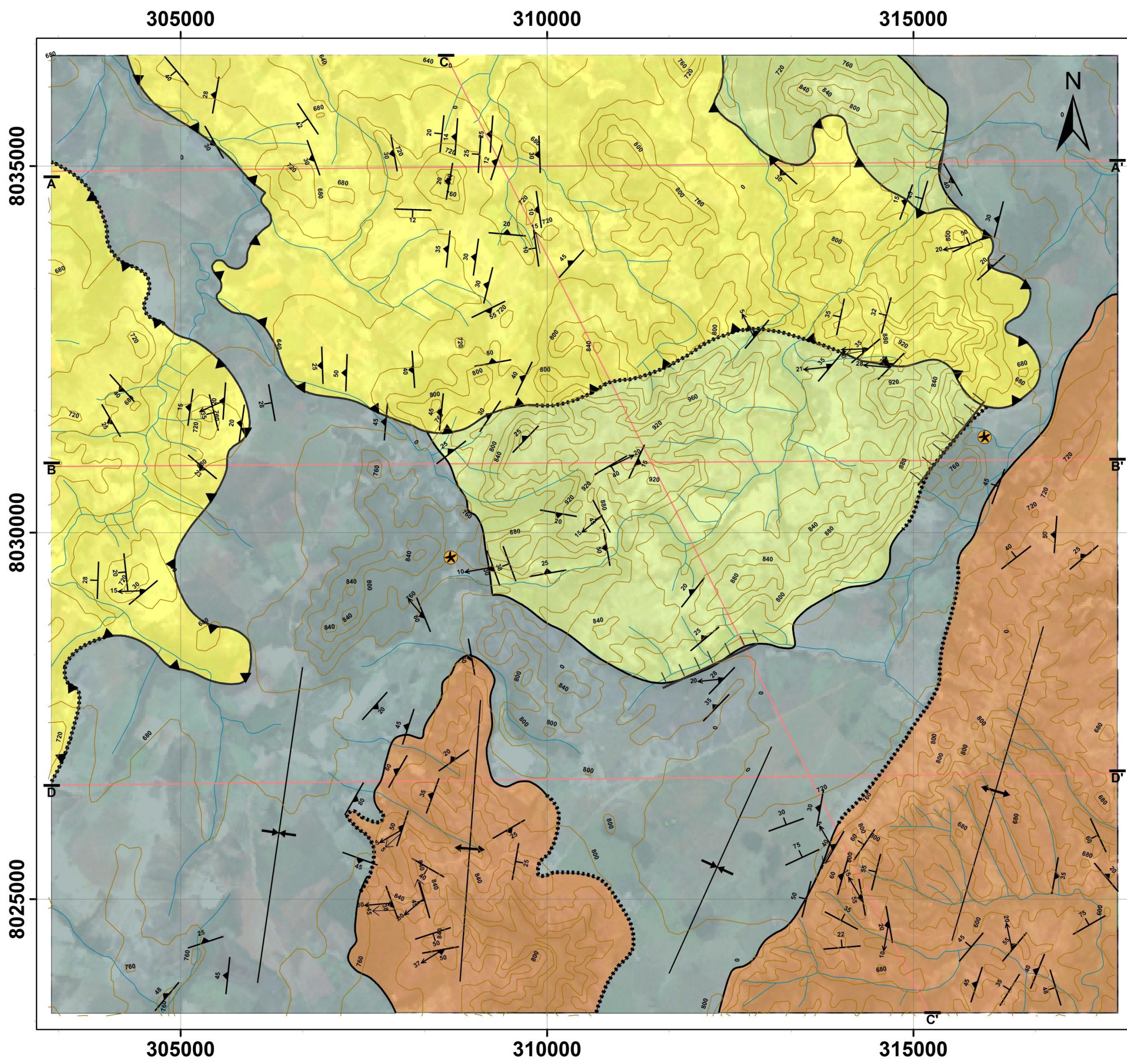
Fonte: Observatório Nacional

SERRA DA TIRIRICA SE.23-V. C-II	PARACATU SE.23-V. C-III	BOCAINA SE.23-V. D-I
GUARDA-MOR SE.23-V. C-V	ARRENE SE.23-V. C-VI	JÃO PINHEIRO SE.23-V. D-IV
COROMANDEL SE.23-Y. A-II	LAGAMAR DEL. SE.23-Y. A-III	PRES-OLEGARIO SE.23-Y. B-I



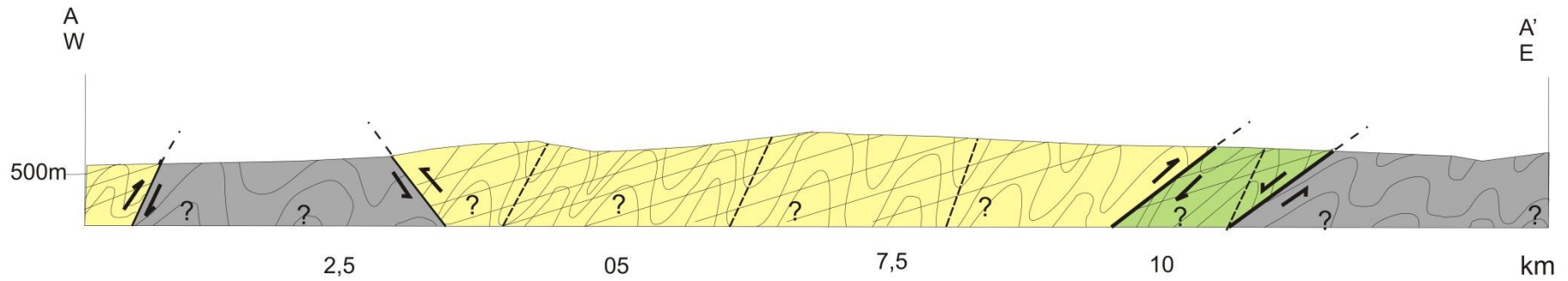
1:50.000

Sistema de Projeção: Universal Transversa de Mercator
Base Cartográfica: Folha Arrenegado
Meridiano Central: -45
Datum: SAD 69
Zona UTM: 23S



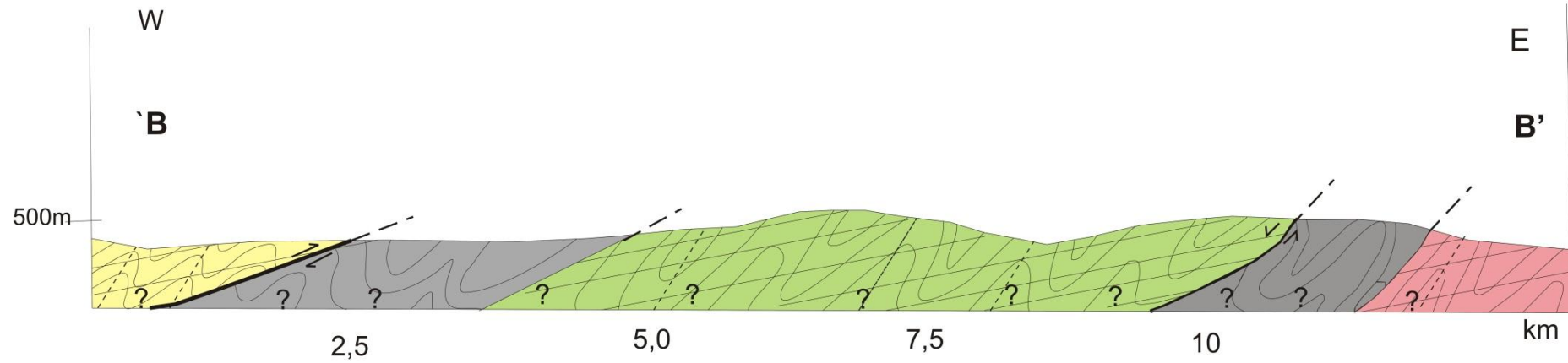
APÊNDICE C – Seções Geológicas.

Perfil A-A'



 <p>Seção A-A'</p> <p>Autor: Vinicius de Oliveira Monteiro Guimarães</p> <p>Programa de Pós Graduação em Análise de Bacias e Falhas Móveis</p> <p><u>Dissertação de Mestrado</u></p> <p>Mapeamento geológico-estrutural e análise de dados aerogeofísicos aplicados à evolução estrutural dos Grupos Canastra e Vazante na região tipo</p> <p>Escala: 1:50000</p>	<p>Legenda:</p> <ul style="list-style-type: none">  Fm. Serra da Lapa: Ardósio carbonosa preta silicificada  Fm. Morro do Calcário: Dolomito estromatolítico  Fm. Paracatu: Filito Carbonoso com intercalações de Quartzito  Foliação paralela ao acamamento- S1//S0  Clivagem ardosiana- S2  Clivagem de Crenulação- S3  Falha Normal -D4  Falha de Empurrão-D2
--	---

Perfil B-B'



Seção B-B'

Autor: Vinicius de Oliveira Monteiro Guimarães

Programa de Pós Graduação em Análise de Bacias e Falhas Móveis

Dissertação de Mestrado

Mapeamento geológico-estrutural
e análise de dados aerogeofísicos
aplicados à evolução estrutural dos
Grupos Canastra e Vazante na região tipo

Escala: 1:50000

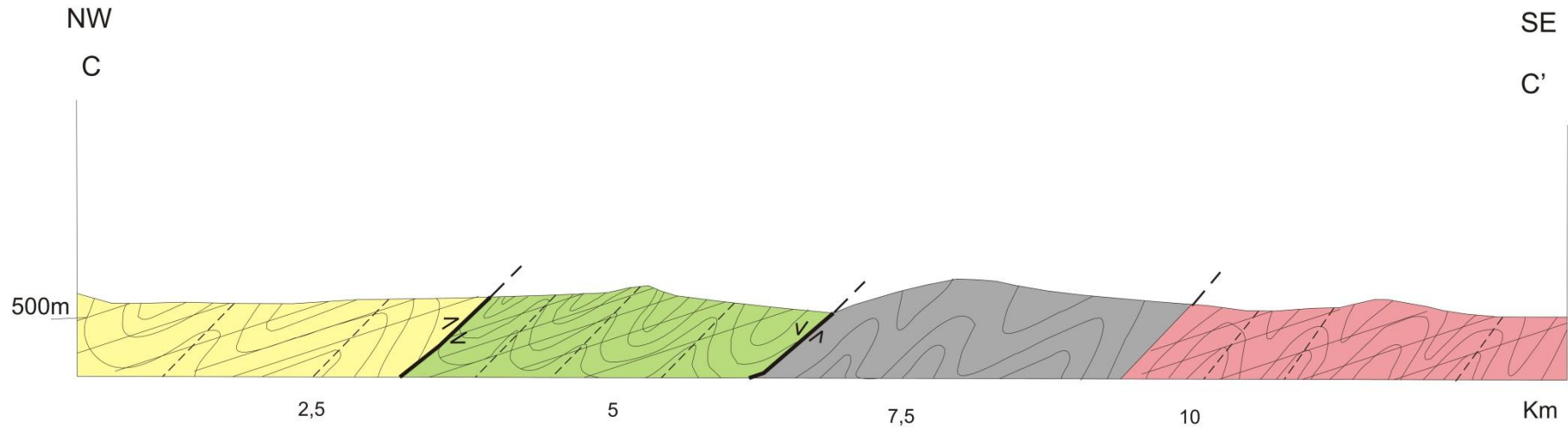
Legenda:

- Fm. Serra da Lapa: Ardósia carbonosa preta silicificada
- Fm. Morro do Calcário: Dolomito estromatolítico
- Fm. Serra do Garrote: Ardósia vermelha homogênea
- Fm. Paracatu: Filito carbonoso com intercalações de quartzito

-  Foliação paralela ao acamamento- S1//S0
-  Clivagem ardosiana- S2
-  Clivagem de Crenulação- S3

-  Falha Normal -D4
-  Falha de Empurrão -D2

Perfil C-C'



Seção C-C'

Autor: Vinicius de Oliveira Monteiro Guimarães

Programa de Pós Graduação em Análise de Bacias e Falhas Móveis

Dissertação de Mestrado

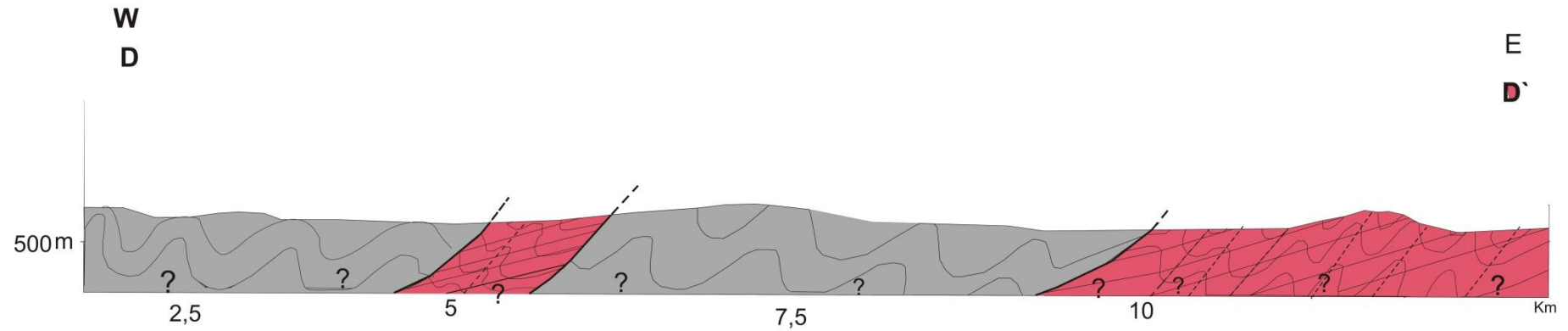
Mapeamento geológico-estrutural
e análise de dados aerogeofísicos
aplicados à evolução estrutural dos
Grupos Canastra e Vazante na região tipo

Escala: 1:50000

Legenda:

- | | |
|---|---|
|  | Fm. Serra da Lapa: Ardósia carbonosa preta silicificada |
|  | Fm. Morro do Calcário: Dolomito estromatolítico |
|  | Fm. Serra do Garrote: Ardósia vermelha homogênea |
|  | Fm. Paracatu: Filito carbonoso com intercalações de quartzito |
|  | Foliação paralela ao acamamento- S1//S0 |
|  | Clivagem ardósiana- S2 |
|  | Clivagem de Crenulação- S3 |
|  | Falha Normal - D4 |
|  | Falha de Empurrão - D2 |

Perfil D-D'



Seção D-D'

Autor: Vinicius de Oliveira Monteiro Guimarães

Programa de Pós Graduação em Análise de Bacias e Falhas Móveis

Dissertação de Mestrado

Mapeamento geológico-estrutural
e análise de dados aerogeofísicos
aplicados à evolução estrutural dos
Grupos Canastra e Vazante na região tipo

Escala: 1:50000

Legenda:



Fm. Morro do Calcário: Dolomito



Fm. Serra do Garrote: Ardósia vermelha homogênea



Foliação paralela ao acamamento- S1//S0

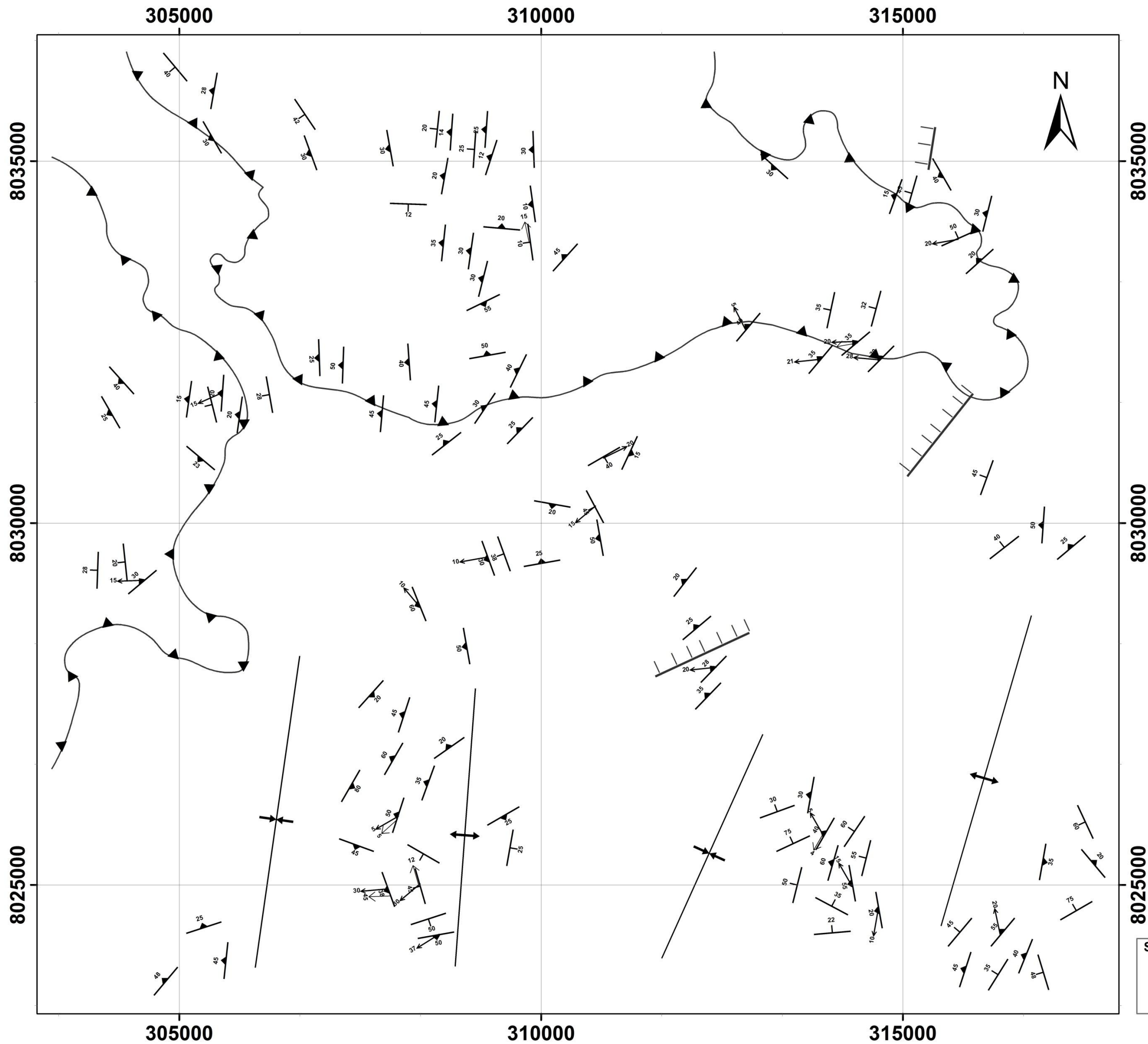


Clivagem ardosiana- S2



Clivagem de Crenulação- S3

APÊNDICE D – Mapa Estrutural.



 **Mapa Estrutural**

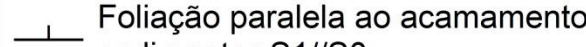
Autor: Vinicius de Oliveira Monteiro Guimarães

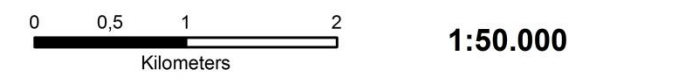
Programa de Pós Graduação em Análise de Bacias e Faixas Móveis

Dissertação de Mestrado

Mapeamento geológico-estrutural e análise de dados aerogeofísicos aplicados à evolução estrutural dos Grupos Canastra e Vazante na região tipo

Convenções Estruturais

-  Lineação de Interseção-Li (Sin D2)
-  Foliação paralela ao acamamento sedimentar-S1//S0
-  Clivagem Ardosiana- S2
-  Falha de Empurrão (Sin D2)
-  Dobra Sinformal (Sin D2)
-  Dobra Antiformal (Sin D2)
-  Lineação de Crenulação-Lc (Sin D3)
-  Falha Normal (Sin D4)



Sistema de Projeção: Universal Transversa de Mercator
Base Cartográfica: Folha Arrenegado
Meridiano Central: -45
Datum: SAD 69
Zona UTM: 23S